

Al₂O₃로 피복시킨 세라믹 복합분체의 제조 및 특성 :

(I) 피복용 혼합 알루미늄 염 용액의 가수분해

현상훈·정형구

연세대학교 요입공학과

(1990년 7월 9일 접수)

Preparation and Characteristics of Ceramic Composite Powders Coated with Al₂O₃ :

(I) Hydrolysis of Mixed Aluminum Salt Solution for Coating

Sang-Hoon Hyun and Heyng-Gu Jung

Department of Ceramic Engineering, Yonsei University

(Received July 9, 1990)

요약

미립자 피복에 요구되는 크기가 작고 응집이 없는 구형의 침전물을 얻기 위하여 알루미늄 황산염-알루미늄 질산염-요소로 이루어진 혼합 알루미늄 염 용액에 대한 가수분해 침전반응이 연구되었다.

pH 조절제로 요소를 이용함으로써 피복공정에 적합한 가수분해-침전반응을 조절할 수 있다. 출발용액내의 총 Al³⁺ 이온농도와 SO₄²⁻/Al³⁺의 이온농도비가 작을수록 그리고 가수분해시 첨가하는 물의 양이 많을수록 침전입자의 형상이 구형일 뿐만 아니라 평균크기($0.5 \rightarrow 0.05 \mu\text{m}$)는 작아지고 응집이 없이 균일하였다. 피복용 최적 가수분해 조건은 SO₄²⁻/Al³⁺의 이온농도비와 증류수/용액의 부피비가 각각 0.75와 15배일 때 엾으며, 알루미늄 침전물은 SO₄²⁻ 이온이 강하게 흡착된 수산화 알루미늄으로서 수율은 대략 20% 이었다.

ABSTRACT

The hydrolysis-precipitation reaction of mixed aluminum salt solutions of aluminum sulfate, aluminum nitrate, and urea has been investigated to obtain narrow-sized and unagglomerated fine spherical precipitates of aluminum hydroxide required for coating core particles.

The hydrolysis-precipitation reaction could be controlled to be appropriate to coating processes by using urea as a pH control-agent. As the concentration of total Al³⁺ ion and the molar ratio of SO₄²⁻/Al³⁺ in starting solutions became smaller and also as the vol. ratio of water/solution for hydrolyzing mixed aluminum salt solution became larger, the morphology of precipitates tended to be more unagglomerated and spherical, while their size($0.5 \rightarrow 0.05 \mu\text{m}$) to be smaller.

The optimum hydrolysis condition for coating processes was to hydrolyze the mixed aluminum salt solution, in which the molar ratio of SO₄²⁻/Al³⁺ was 0.75, with the amount of water corresponding to the vol. ratio of water/solution of 15. The precipitate was the aluminum hydroxide which sulfate ions were strongly adsorbed on

and the maximum yield in the hydrolysis-precipitation reaction was about 20 %.

1. 서 론

알루미나는 기계적 강도가 높고 내마모성과 내식성이 우수한 뿐만 아니라 전기 절연성이 좋아서 기계적 용도 이외에 IC 기판 등 전자공업용 재료로서도 널리 각광 받고 있으나 파괴인성과 열충격 저항성이 약해서 길삭공구, 연마제, 내열재 등 구조재료로서의 이용이 상당히 제한되고 있다. 따라서 알루미나의 단점을 극복할 수 있는 알루미나 복합체의 개발에 많은 관심을 기울여왔다^[2].

알루미나 복합체의 물성을 알루미나 기지내에 분산된 이차상의 모양, 크기, 성질 및 분산 상태 등에 의하여 좌우되기 때문에 종래의 고상합성법으로는 얻기 어려운 미립의 균일 분산을 만족시킬 수 있는 효율적인 복합화 공정개발이 필수적으로 요구된다. 최근 세라믹 분체합성에 많이 사용되고 있는 용액법중에서 복합분체 합성을 위하여 금속 알루미늄 혼합용액을 기수분해 침전시키는 공침법^[3]을 들 수 있으나, 만일 각 성분의 가수분해 속도가 같지 않으면 균일하게 침전이 일어나지 않고 가수분해 속도가 빠른 것이 먼저 석출되어 편석현상이 일어날 수 있다. 또한 침전의 원결정도에 따라 초기 용액의 조성과 일치하지 않는 경우가 종종 일어나기 때문에 효율적인 복합화를 위해서는 가수분해-침전공정의 정확한 제어에 상당한 어려움이 있다.

복합화 과정에서 미립의 균일 분산을 만족시킬 수 있는 방법으로서 Bowen^[4]과 Matijevic^[5]이 제시한 가수분해 침적법에 의한 미립자와의 피복방법을 응용할 수가 있다. 즉 크기가 균일한 분산상의 미립자를 기지물질로 피복시켜 복합분체를 제조함으로써 복합화 과정에서 일어날 수 있는 이차상간의 응집, 입자성장 및 편석현상을 방지할 수 있기 때문에 효율적으로 복합체를 제조할 수 있는 가능성을 제시할 수 있다.

본 연구는 $\text{Al}_2\text{O}_3-\text{TiO}_2$ 및 $\text{Al}_2\text{O}_3-\text{ZrO}_2$ 와 같은 Al_2O_3 계 불-산상 복합체를 효율적으로 제조할 수 있는 메트릭스 물질인 Al_2O_3 로 피복시킨 복합체를 제조하기 위한 일차적인 연구로서 피복용 혼합 알루미늄 염 용액의 가수분해 조건에 따른 침전분체의 특성 및 피복공정에의 적합성을 규명하여 최적의 가수분해조건을 제시하였다.

2. 실 험

본 실험의 전체적인 공정도는 Fig.1에 주어져 있으며 각 단계에 대한 구체적인 설명은 다음과 같다. 가수분해에 의하여 수산화 알루미늄을 침적시킬 수 있는 피복용 알루미늄 염 용액을 제조하기 위하여 2차 증류수와 Al 공급원으로 $\text{Al}_2(\text{SO}_4)_3 \cdot 13-14\text{H}_2\text{O}$ 와 $\text{Al}(\text{NO}_3)_3 \cdot 9\text{H}_2\text{O}$ 를 사용하였으며 용액내의 pH를 균일하게 증가시키기 위하여 요소(urea)를 첨가하였다. 알루미늄 염 용액 조성이 가수분해 침전반응에 미치는 영향을 규명하기 위하여 순수 $\text{Al}_2(\text{SO}_4)_3 \cdot 13-14\text{H}_2\text{O}$ 또는 $\text{Al}(\text{NO}_3)_3 \cdot 9\text{H}_2\text{O}$ 용액 이외에 $\text{Al}(\text{NO}_3)_3 \cdot 9\text{H}_2\text{O}/\text{Al}_2(\text{SO}_4)_3 \cdot 13-14\text{H}_2\text{O}$ 의 혼합비를 달리하여 용액내의 Al^{3+} 와 SO_4^{2-} 이온농도 비가 다른 혼합용액을 사용하여 가수분해 실험을 실시하였다. 가수분해 시 이질조핵성장(heterogeneous nucleation and growth)에 의한 입자 크기의 불균일성을 제어하기 위하여 출발용

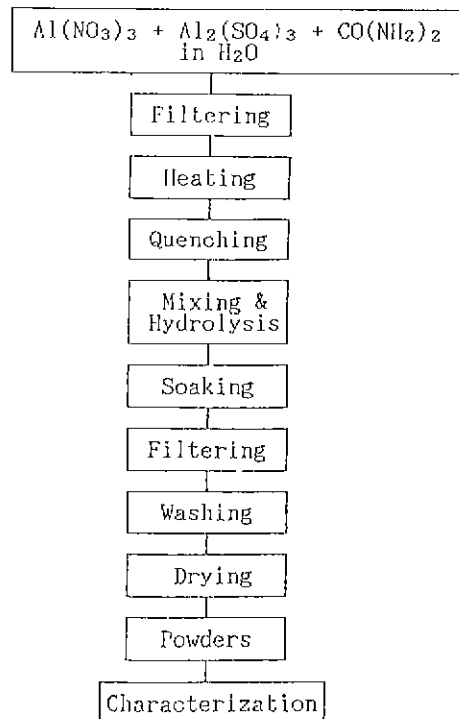


Fig.1 Overall experimental flow chart.

액을 기공 크기가 $0.22\text{ }\mu\text{m}$ 인 여과자로 여과하여 가능한 모든 불순물을 제거하였다.

가수분해반응이 용이하게 일어날 수 있도록 하기 위하여 pH 가 3 근처인 초기 혼합용액에 요소를 첨가하여 밀폐된 pyrex 용기에 넣은 다음 가열도중 고체 입자가 침전되지 않을 때까지 요소의 분해온도이상의 온도인 98°C에서 중탕 유지시킨 후 상온까지 굽냉하였다가 가수분해용 혼합용액의 pH 가 3.6-3.7정도가 되도록 하였다. 상온에서 일정량의 가수분해용 알루미늄 염 용액을 이차 층류수에 일시에 부은 다음 일정시간 동안 자력교반기로 교반시키면서 가수분해-침전반응을 전해시켰다. 반응 후에 기공 크기가 $0.22 \mu\text{m}$ 인 여과자로 여과하여 침전물을 수거하였다.

가수분해 후 침전물에 함유되어 있는 잔존 미나ونg 이온 등을 제거하기 위하여 중류수로 되풀이하여 세척하였을 뿐만 아니라 경우에 따라서 최종분체에 흡착된 SO_4^{2-} 이온은 pH 가 10인 암모니아 수로 세척세거하였다. 가수분해 반응에 의한 침전정도를 규명하기 위하여 반응시간 및 중류수의 첨가량에 따른 수산화 알루미늄의 수율을 950°C에서 열처리한 후 알루미나를 기준으로 하여 측정하였으며 X-선 회절 분석, 열분석 및 SEM으로 침진물의 미세구조를 분석 관찰하였다.

3. 결과 및 고찰

3.1. 가수분해-침전 반응

미립의 괴복체(**core particle**)를 수산화 알루미늄(결국 Al_2O_3)으로 균질하게 괴복시키기 위해서는 괴복용 알루미늄 염 용액을 괴복체가 분산된 증류수에 부어 가수분해시켰을 때 가수분해-침전반응이 분산체 전체에서 균일한 속도로 일어날 수 있어야만 한다. 따라서 괴복실험 이전에 알루미늄 염 용액내에서 가수분해-침전반응의 진행과정을 규명하기 위하여 용액중의 총 Al^{3+} 이온농도, 요소의 농도, 그리고 $\text{SO}_4^{2-}/\text{Al}^{3+}$ 몰비를 각각 0.0834 mol/l, 0.22 mol/l, 0.75인 혼합용액을 사용하여 가수분해-침전반응조건 즉, pH 조절방법에 따른 침전반응의 진행과정을 관찰한 결과가 Fig. 2에 주어져 있다.

Fig. 2(a)는 2장의 실험방법에서 언급한 바와 같이 오소를 첨가하여 혼합용액의 pH를 3.7정도로 조절한 후에 가수분해용 중류수에 의하여 pH를 0.2~0.4 정도만큼 더 증가시켰을 때 가수분해 친화반응에 의하여 생성된 쿠알

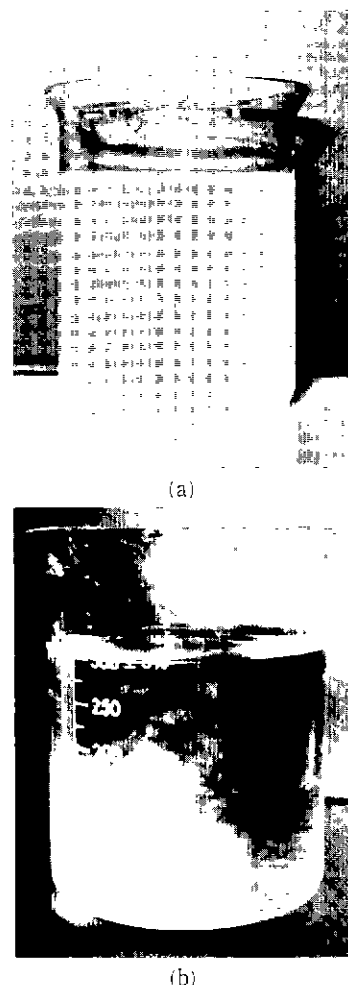
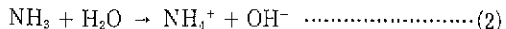
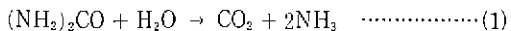


Fig. 2 Photographs of precipitates hydrolyzed from mixed aluminum salt solutions using (a) urea and (b) NH_4OH solution

현 수산화 알루미늄의 분산계를 보여주고 있다. 이처럼 요소를 이용하여 혼합용액의 pH를 조절함으로써 용액진체를 균일하게 일정 pH까지 증가시킬 수 있을 뿐만 아니라 다른 pH 조절에 비해 pH 조절이 용이하다 즉 알루미늄 염 용액에 첨가한 요소는 심온에서 분해반응이 일어나지 않지만 대략 70°C 이상의 온도에서는 다음과 같은 반응에 의하여 OH⁻ 이온을 방출하기 때문에 pH가 상승하게 된다^[6,7].



또한 분해반응속도가 매우 느려서 pH는 서서히 용액전체에 걸쳐서 균일하게 증가하는 반면에 분해온도 이하로 냉각시키면 반응이 정지하므로 pH 조절이 용이하다. 만약에 가열을 더 계속하면 요소의 분해량이 많아져 pH가 3.7 이상으로 증가하게 되어 비정질의 불용성 aluminum sulfate⁸¹가 침전됨과 동시에 초기 용액의 조성이 변화됨으로 다음 절에서 언급한 피복용 침전입자의 미세구조조절이 어렵기 때문에 열처리 시간 및 pH 조절에 상당한 주의를 요한다.

반면에 pH가 3.7인 염 용액을 증류수에 적하하였을 때에는 바로 낙하지점에서 pH는 증가하나 용액의 농도가 감소하기 때문에 침전이 순간적으로 일어나지 않고 일정량의 용액이 첨가되어 침전을 일으킬 수 있는 pH와 농도에 도달되었을 때 비로소 서서히 가수분해-침전반응에 의한 수산화 알루미늄 침전물이 침전되기 시작한다. 이와 같은 가수분해-침전공정이 미분말의 피복공정에 필수적으로 요구되기 때문에 본 연구에서는 요소를 이용하여 가수분해-침전반응의 pH 범위를 조절하였다. Fig. 2(b)는 요소를 이용하여 pH를 조절한 경우와 비교하기 위하여 암모니아 수를 이용하여 용액을 가수분해시킬 때 일어나는 국부적인 급격한 침전현상을 보여주고 있다. 암모니아 수의 농도가 낮을 때에는 가수분해-침전반응에 요구되는 용액의 농도와 pH(3.9~4.0)에 미치지 못하여 가수분해-침전반응이 일어나지 않는다. 그러나 암모니아수의 pH가 10 이상 정도에서는 암모니아 수와 용액의 접촉면에서 급격한 pH 상승에 의하여 침전반응이 Fig. 2(b)에서처럼 국부적으로 일어나기 때문에 균일한 침전이 요구되는 피복공정에서는 적합치 않음을 알 수 있었다. 결국 암모니아 수를 사용하여는 용액내의 전자적인 pH를 균일하게 상승시킬 수 없기 때문에 용액전체에서 균일한 속도의 가수분해-침전 반응은 일어나지 않는다.

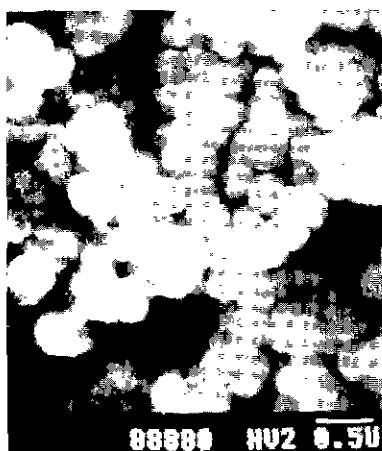
3.2. 침전물의 미세구조 및 특성

3.2.1. 알루미늄 염 용액의 조성에 따른 영향

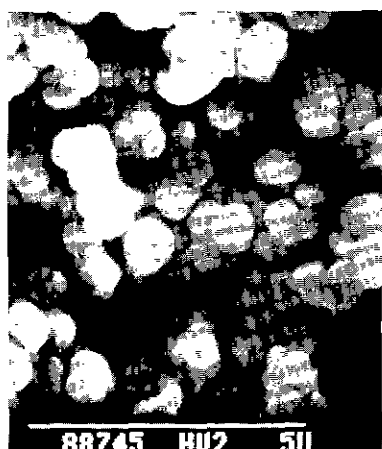
혼합 알루미늄 염 용액의 농도에 따른 가수분해 침전물의 입자형상 및 크기 변화가 Fig. 3에 주어져 있는데 이들은 모두 용액의 10 배에 해당하는 증류수로 가수분해시킨 결과이다. Fig. 3(a)는 총 Al^{3+} 이온 농도가 0.0834 mol/l인 경우로서 Fig. 2(a)와 같은 농도의 용액에 대한 것인데 대략 $0.3 \mu\text{m}$ 정도의 구형 입자들로 이루어져 있다. 반면에 Fig. 3(b)는 Al^{3+} 이온농도가 Fig. 3(a)에서보다 3배가 더 진한 0.2502 mol/l 용액을 가수분해시킨 결과로서

침전물 입자 역시 구형을 이루고 있으나 응집이 다소 증가하고 있으며 입자크기도 $0.7\text{--}0.8 \mu\text{m}$ 정도로 2배 이상 커져 있음을 알 수 있다. 이들 그림에서 알 수 있는 바와 같이 출발용액의 농도 즉, 총 Al^{3+} 이온농도가 증가할 수록 입자의 크기와 응집정도가 증가하고 있기 때문에 최적 피복공정에 적합한 가수분해 조건을 설정하기 위한 차후의 모든 실험은 Fig 3(a)에서와 같은 낮은 농도하에서 실시하였다.

출발용액의 조성에 따른 가수분해 침전물의 형상 및 미



(a)



(b)

Fig. 3 SEM of powders precipitated from mixed aluminum salt solutions: (a) concentration of $\text{Al}^{3+}=0.0834 \text{ mol/l}$ and (b) concentration of $\text{Al}^{3+}=0.2512 \text{ mol/l}$ (molar ratio of $\text{SO}_4^{2-}/\text{Al}^{3+}=0.75$ & conc of urea=0.22 mol/l).

세구조변화를 규명하기 위하여 용액내의 Al³⁺ 이온의 농도를 0.0834 mol/l로 일정하게 유지한 반면에 알루미늄 질산염(Fig.4는 순수한 질산염인 경우)과 알루미늄 황산염의 혼합비율을 조절하여 SO₄²⁻/Al³⁺ 몰비를 1.5~0.333 정도 범위내에서 변화시켰을 때 용액의 15 배에 해당하는 증유수에 의하여 가수분해된 침전물에 대한 사진이 Fig.5에 주어져 있다. 알루미늄질산염만을 사용할 때에는 SO₄²⁻이온이 존재했을 때와 동일한 실험조건에서 침전이 일어나지 않았으리 대신에 암모니아 수를 사용하여 가수분해한 경우에는 Fig.4에서 알 수 있는 바와 같이 국부적인 침전이 순간적으로 발생할 뿐만 아니라 생성된 침전물이 균일한 크기의 분체가 아니라 심한 응집현상을 나타내고 있기 때문에 괴복공정에 적합한 침적입자를 얻을 수 없었다.

Fig.5(a)는 SO₄²⁻/Al³⁺ 몰비가 1.5에 해당되는 단일 알루미늄 황산염만을 사용한 경우의 침전물에 대한 SEM 사진으로서 침전물의 입자크기가 대략 0.4 μm 정도이며 불균일할 뿐만 아니라 입자간의 응집이 심하며 구형도도 좋지 않음을 알 수 있었다. 그러나 사진에서 알 수 있는 바와 같이 SO₄²⁻/Al³⁺ 몰비가 작아질수록 즉, 알루미늄 질산염 양이 증가할수록 침전물은 균일한 크기의 응집이 적은 미립구형의 입자로 변화하고 있다. 특히 SO₄²⁻/Al³⁺ 몰비가 1이하일 때부터 침전물의 형태가 괴복공정에 적합한 것으로 볼 수 있으나 SO₄²⁻/Al³⁺의 몰비가 아주 작은 경우에는 다음의 3.2.3항에서 언급한 바와 같이 수율이 작

기 때문에 실질적인 괴복공정에 적합하지 않음을 알 수 있다.

Fig.5의 SEM 사진으로부터 구한 SO₄²⁻/Al³⁺ 몰비에 따른 평균입자 크기가 Fig.6에 주어져 있는데 몰비가 증

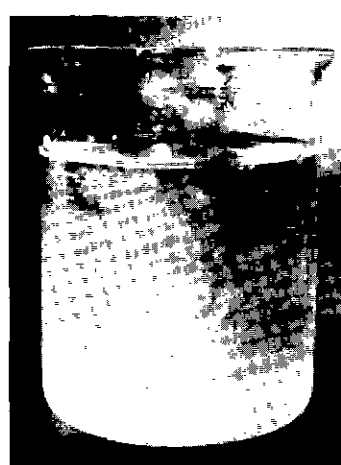


Fig.4. Photograph of precipitates hydrolyzed from the aluminum nitrate solution using NH₄OH solution.

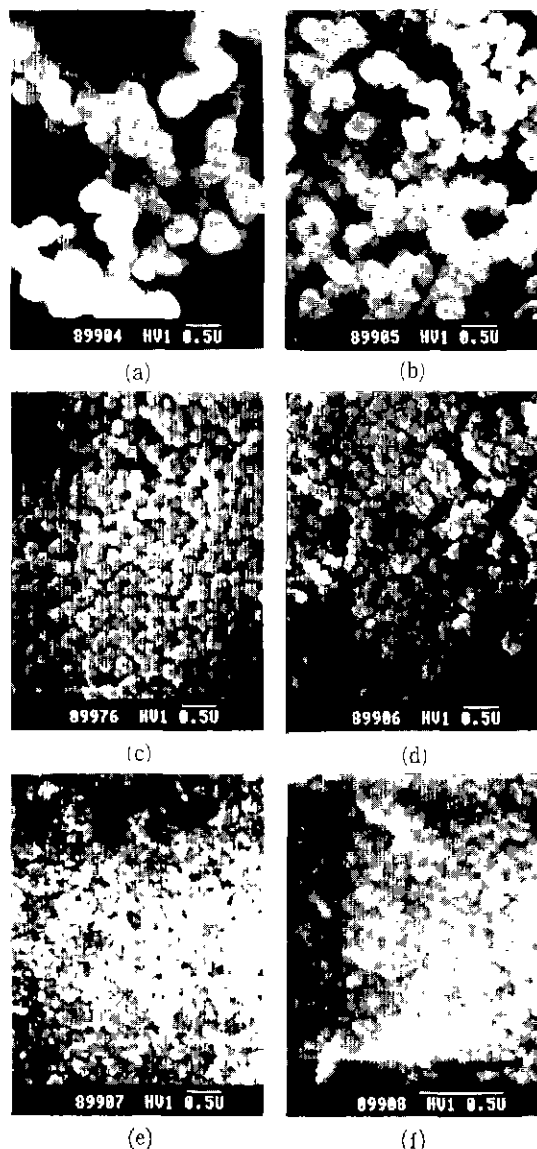


Fig.5. SEM of powders precipitated (hydrolyzed with the vol ratio of water/solution=15) from mixed aluminum salt solutions (total conc. of Al³⁺=0.0834 mol/l) with the SO₄²⁻/Al³⁺ molar ratio of (a) 1.5, (b) 1.0, (c) 0.75, (d) 0.667, (e) 0.5, and (f) 0.333.

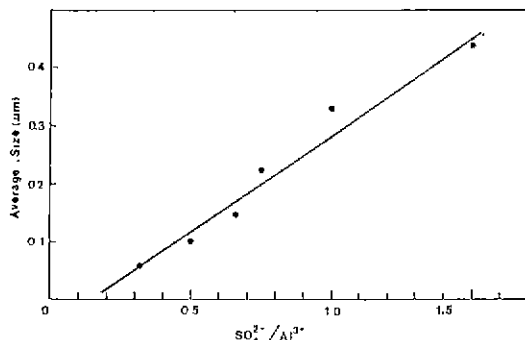


Fig. 6. Average particle size vs. molar ratio of $\text{SO}_4^{2-}/\text{Al}^{3+}$ measured from Fig. 5.

가함에 따라 평균입자 크기가 대략 $0.05\mu\text{m}$ 에서 $0.5\mu\text{m}$ 까지 증가하고 있다. SO_4^{2-} 의 농도증가에 따라 기수분해 침진물의 형상 및 크기가 Fig. 5와 Fig. 6에 나타낸 것과 같이 변하는 이유는 SO_4^{2-} 이온이 수화된 Al^{3+} 이온과 결합하여 침전핵형성 및 해간 결합을 촉진하기 때문이다^{9,10)} 따라서 SO_4^{2-} 이온의 농도가 전할수록 침진물의 평균입자 크기는 커지고 응집정도도 증가하게 된다.

3.2.2. 물의 첨가량에 따른 영향

기수분해시 첨가하는 물의 양에 따른 침진물의 형상 및 크기변화를 알아보기 위하여 3.2.1항에서 언급한 Fig. 5(c)의 농도와 조성을 갖는 용액에 대해 증류수/용액의 부

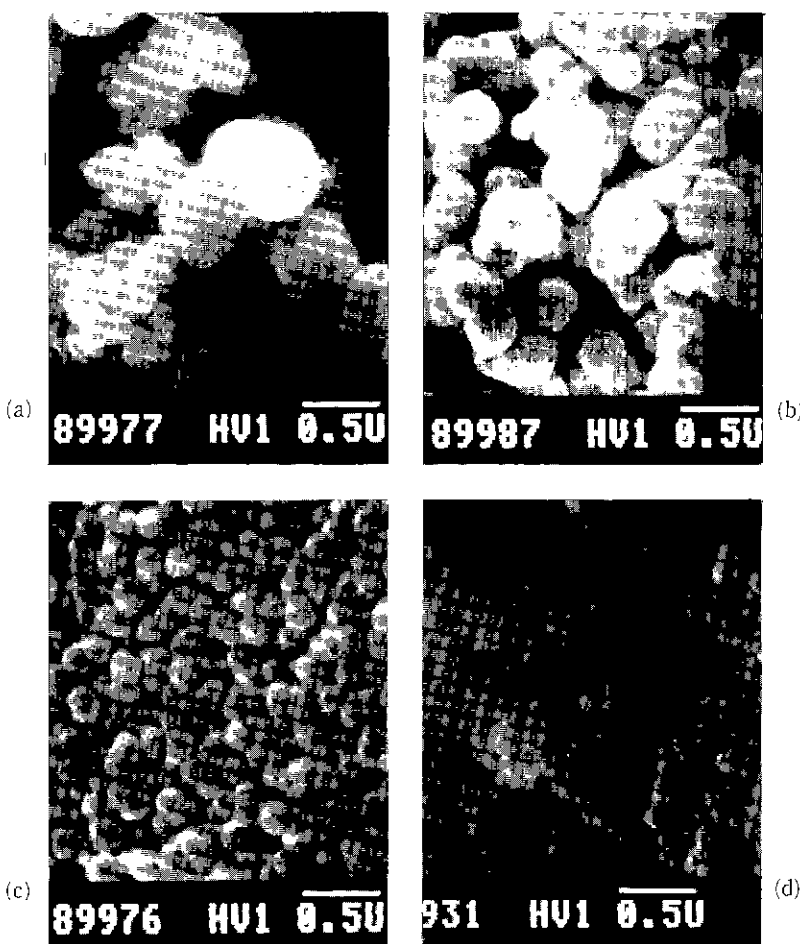


Fig. 7 SEM of powders precipitated from mixed aluminum salt solutions (total conc. of $\text{Al}^{3+}=0.0834\text{ mol/l}$ and mole ratio of $\text{SO}_4^{2-}/\text{Al}^{3+}=0.75$) through hydrolyzing with the water/solution vol. ratio of : (a) 3, (b) 9, (c) 15, and (d) 20

피비가 3-20인 범위내에서 2 시간동안 가수분해시켜 얻은 침전물에 대한 SEM 사진이 Fig.7에 주어져 있다. 사진에서 알 수 있는 바와 같이 증류수/용액의 부피비가 3 일 때는 평균입자크기는 0.7 μm 정도이며 불균일 할뿐만 아니라 입자간의 응집이 심함을 보여 주고 있으나 증류수/용액의 부피비가 증가할수록 입자의 크기는 작아지고 균일하며 응집정도가 상당히 감소하고 있다. 특히 부피비가 15이상일 때는 침전물의 형상이 구형일 뿐만 아니라 입자크기도 0.2μm 이하로서 괴복공정에 적합한 가수분해조건임을 알 수 있으나 실제 괴복공정에서 너무 많은 양의 물을 첨가하게 되면 괴복체(core particle)의 농도가 저하되기때문에 모든 침전물이 괴복체의 표면에 침적될 수 있는 확율이 적어지게 된다. 따라서 물/용액의 부피가 15 정도이면 적합하다.

3.2.3. 침진물의 수율

혼합 알루미늄 염 용액의 가수분해 반응조건에 따른 용액내의 알루미늄 성분에 대한 침전수율을 측정한 결과가 Fig.8과 9에 주어져 있다. Fig.8은 출발용액의 농도, 조성 및 증류수/용액의 부피비를 Fig.7(c)의 실험조건과 동일하게 하였을 때 시간에 따른 가수분해반응의 완결정도를 규명하기 위하여 수율변화를 측정한 결과이다. Fig.8에서 알 수 있는 바와 같이 반응시간이 길수록 수율은 증가하나 약 120 min 이후부터는 21%로 더 이상 증가하지 않아 가수분해 완결시간이 2시간 정도임을 알 수 있었다. 따라서 2시간 이내에서 반응시간을 조절한다면 실제 괴복실험에서 괴복두께도 조절 할 수 있을 것이다. Fig.9는 출발용액의 농도와 조성을 Fig.7(c)의 실험조건과 동일하게 하였을때 가수분해시 첨가한 증류수/용액의 부피비에 따

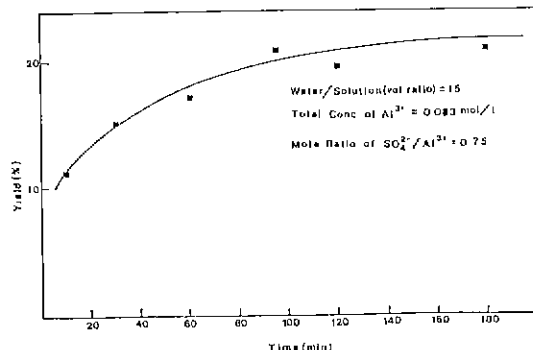


Fig.8. Variation of the precipitation yield with the reaction time.

른 수율을 측정한 결과이다. 그림에서 알 수 있는 바와 같이 증류수/용액의 부피비가 커질수록 수율은 증가하나 가수분해반응 완결시간(2시간)이 아닌 1시간 동안만 반응시켰을 경우에는 부피비가 증가해도 수율은 대략 18% 이상 증가하지 않았으며 가수분해 반응시간이 증가할수록 수율은 증가하는데, 이는 Fig.8의 결과와 잘 일치하고 있음을 보여주고 있다.

가수분해 침진물의 수율은 기수분해 시간 및 가수분해 시 첨가하는 증류수의 양 뿐만 아니라 출발 알루미늄 염 용액의 조성에도 의존한다. 즉 출발용액의 SO₄²⁻ 이온 농도가 끓을수록 침전물의 입자크기는 작아지지만 실험적으로 가수분해수율은 감소함을 알 수 있었으며 또한 SO₄²⁻ 이온이 전혀 존재하지 않을 경우에는 가수분해 반응에 의한 침전이 생성되지 않았다.

이상의 결과로 부터 본 연구의 실험범위에서 알 수 있는 최대 알루미늄 성분에 대한 수율은 21%정도 이있다. 혼합 알루미늄 염의 가수분해법에 의하여 알루미늄 분체를 합성할 경우 Fig.5-7에서와 같이 미립구형의 응집이 없는 입자를 얻을 수 있기 때문에 열핏 보기에 좋은 분체합성법으로 평가될 수도 있으나 수율이 낮기 때문에 매우 부적합하다. 반면에 괴복공정에서는 수율보다 구형 미립자의 균일 침진이 더욱 중요시 되기 때문에 매우 적합한 공정으로 평가될 수 있다.

3.2.4. 침전물의 분석

혼합 알루미늄 염 용액을 가수분해 하였을 때 얻어진 침전물의 형태와 구조를 규명하기 위한 대표적인 일분석 및

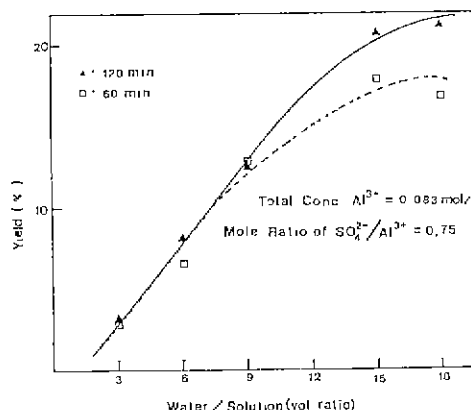


Fig.9. Variation of the precipitation yield with the water/solution vol ratio.

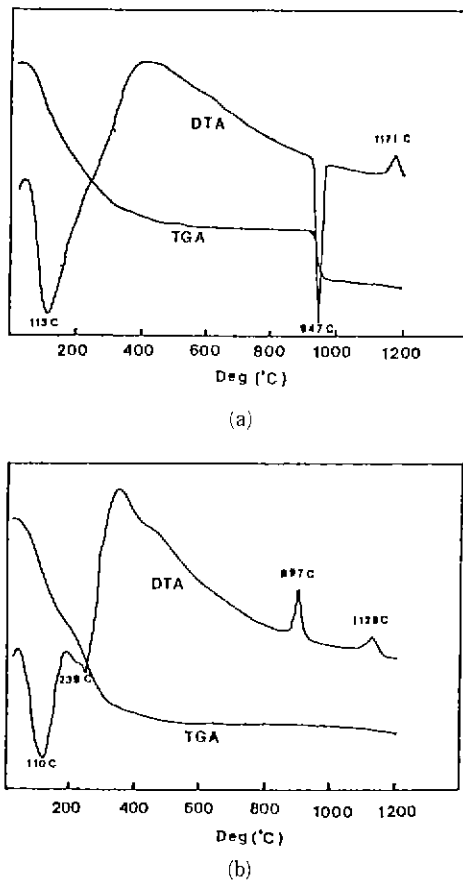


Fig. 10. DTA and TGA curves of precipitates washed
(a) with distilled water and (b) with NH₄OH solution.

X-선 회절분석 결과가 Fig. 10과 11에 주어져 있다. Fig. 10(a)는 가수분해 침전물에 흡착되어 있는 SO₄²⁻이온 및 미반응 이온들을 제거하기 위하여 침전물의 세척여액에서 BaCl₂ 용액으로 BaSO₄ 침전반응이 일어나지 않을 때까지 이차증류수로 세척한 침전물에 대한 열분석 결과이다. 그림에서 알 수 있는 바와 같이 110°C 부근에서의 흡열 peak는 주로 무게감량을 수반한 부착수의 탈수에 의한 것인 반면에 947°C의 흡열 peak는 흡착능이 매우 큰 sulfate 이온이 가수분해 침전물에 흡착되어 세척시 제거되지 않고 남아 있다가 열분해되어 없어지는데 기인된 것이다. 또한 110°C~600°C에 걸쳐서 나타나는 넓은 범위의 발열 peak 와 무게감량은 수산화 알루미늄 침전물에 함유되어 있는 구조수의 탈수 및 잔존 유기물(미반응 요소)의 산화에 의

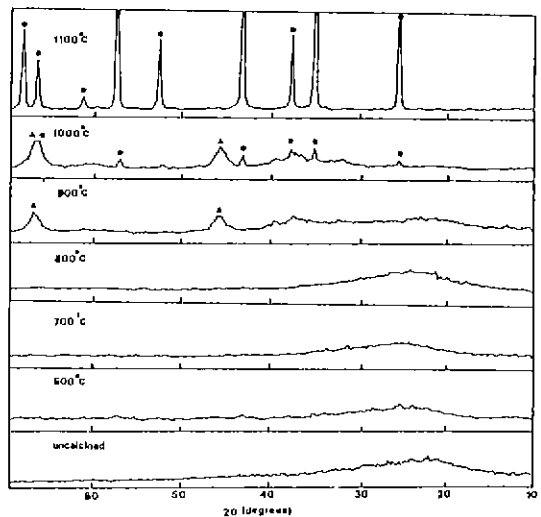


Fig. 11. XRD curves of precipitates heated-treated at various temperature.

한 것으로 볼 수 있다. 일반적으로 구조수의 탈수는 흡열 peak를 형성하지만 본 DTA 분석에서 이 흡열 peak는 유기물의 산화에 의한 발열 peak와 상쇄되어 나타나지 않고 있다. 1177 °C에서의 발열 peak는 γ-Al₂O₃가 α-Al₂O₃로 무게 변화없이 일어나는 상전이에 의한 것으로 볼 수 있다. 총 무게감량은 52 %정도였으며, 이중 부착수로 인한 것이 15 %, 구조수 및 잔존 유기물에 의한 것이 23 % 그리고 sulfate 이온에 의한 것이 14 %였다. 이상의 열분석 결과로 부터 가수분해 침전물은 상당량의 sulfate 이온을 함유하고 있으며 증류수로만 세척할 경우 표면 흡착능이 큰 이 이온을 제거할 수 없음을 알 수 있었다.

따라서 침전물에 잔존하는 sulfate 이온을 제거하기 위하여 pH가 10인 암모니아 수로 침전물을 세척한 후 암모니아 수에 의하여 유입된 잔존 NH₄⁺이온을 제거하기 위하여 또다시 증류수로 세척한 침전물에 대한 열분석 결과가 Fig. 10(b)에 주어져 있다. 그림에서 알 수 있듯이 110 °C 부근에서는 증류수로 세척했을 때와 동일한 peak 가 존재하고 있으나 239°C에서는 증류수 세척시에는 관찰할 수 없었던 흡열 peak 가 나타나고 있는데 이는 미량의 SO₄²⁻ 이온과 암모니아 수의 NH₄⁺ 이온이 결합한 ammonium sulfate 의 분해에 의한 것으로 볼 수 있다. 또한 250°C~600°C 범위에서는 증류수 세척시 때와 마찬가지로 구조수의 탈수 및 잔존 유기물의 산화에 의한 무게

갈량을 수반한 발열 peak 가 존재하고 있다. 897 °C 와 1128 °C에서의 발열 peak 는 각각 γ -Al₂O₃상의 생성(Fig. 11) 및 γ -Al₂O₃ \rightarrow α -Al₂O₃로의 상전이에 의한 것이다. 무게감량을 수반하지 않는다. 897 °C에서 γ -Al₂O₃ 결정상의 생성에 의한 발열 peak 가 증류수로만 세척한 시료(Fig. 10)에서는 관찰할 수 없는데, 이는 SO₄²⁻이온이 해형성을 억제할 뿐만 아니라 Fig. 11에서처럼 미량 생성되나 947°C의 흡열 peak에 가려서 나타나지 않는 것으로 설명될 수 있다. 또한 증류수로만 세척한 경우와 비교해 블레 947°C에서 SO₄²⁻의 분해에 의한 무게 감량과 흡열 peak는 나타나지 않는데 그 이유는 암모니아 수로 세척하게 되면 가수분해침전물에 흡착된 SO₄²⁻이온이 NH₄⁺이온과 결합하여 (NH₄)₂SO₄ 화합물을 형성하나, 이 화합물은 물에 대한 용해도가 커서 세척시 대부분 이온상태로 제거되기 때문이다.

Fig. 11은 가수분해 침전물을 증류수로만 세척하여 상온에서 건조한 후 하소 온도를 달리하여 XRD 분석한 결과이다. 그림에서 알 수 있는 바와 같이 열처리 온도가 증가함에 따라 800 °C까지 비정질 상태를 유지하고 있으며 900 °C에서부터 γ -Al₂O₃ 결정상이, 그리고 1000 °C에서 α -Al₂O₃ 상이 생성되기 시작하여 1100°C에서는 α -Al₂O₃ 단일 상만이 존재하고 있다. 이상과 같은 침전물을 대한 열분석과 X-선 회절분석 결과로 부터 만일에 이 침전물이 황산염 형태로 석출된다면 600°C~800°C의 온도범위에서 aluminum sulfate 결정 peak⁹가 나타나야 하는데 Fig. 11의 XRD 분석결과 이와 같은 결정 peak가 존재하지 않은 것으로 미루어 보아 가수분해 침전물은 aluminum sulfate 가 아니라 SO₄²⁻이온이 강하게 흡착된 수산화 알루미늄임을 알 수 있었다.

4. 결 론

pH 조절제로 암모니아 수 대신에 요소를 사용함으로써 용액의 pH 를 전체적으로 균일하게 증가시킬 수 있을 뿐만 아니라 가수분해-침전반응을 용액전체에서 서서히 일정한 속도로 일어날 수 있도록 조절할 수 있기 때문에 요소에 의한 pH 조절이 피복공정에 매우 적합함을 알 수 있었다.

가수분해 용액으로 알루미늄 질산염 또는 알루미늄 황산염 용액을 단독으로 사용했을 때에는 가수분해반응이 일어나지 않거나 침전물의 크기가 불균일하고 응집경도가

심하여 피복공정에 적합치 않았다. 이들 혼합용액을 가수분해시켰을 때에는 용액중의 총 Al³⁺ 이온농도와 SO₄²⁻/Al³⁺의 몰농도비가 감소할수록 그리고 증류수/용액의 부피비가 증가할수록 침전입자의 형상이 구형일 뿐만 아니라 평균크기는 작아지고(0.5 \rightarrow 0.05 μm) 응집이 없이 균일하였다 그러나 가수분해시 반응조건에 따른 알루미늄 침전물의 수율변화를 고려한다면 피복용 가수분해-침전 반응의 최적조건은 SO₄²⁻/Al³⁺의 이온농도비와 증류수/용액의 부피비가 각각 0.75와 15배 일 때였으며 침전물은 SO₄²⁻이온이 강하게 흡착된 수산화 알루미늄으로서 수율은 대략 20 %이었다.

「감사의 글」

본 연구는 1988~1989년도 문교부 첨단공학(신소재 분야) 연구지원의 일환으로 수행되었으며 이에 감사의 뜻을 표합니다.

REFERENCES

- M. Lee and M. P. Borom, "Rapid Rate Sintering of Al₂O₃-TiC Composites for Cutting-Tool Applications," *Advanced Ceramic Materials.*, 3 (1) 38~44 (1988).
- N. Claussen, "Stress-Induced Transformation of Tetragonal ZrO₂ Particle in Ceramic Materials," *J. Am. Ceram Soc.*, 61 (12) 85~86 (1978).
- B. Fegley, Jr., E.A. Barringer, and H.K. Bowen, "Synthesis and Characterization of Monosized Doped TiO₂ Powders," *J. Am. Ceram Soc.*, 67 (6) C113~116 (1984)
- H. Okamura, E. A. Barringer, and H. K. Bowen, "Preparation and Sintering of Monosized Al₂O₃-TiO₂ Composite Powder," *J. Am. Ceram. Soc.*, 69 (2) C22~24 (1986).
- S. Kratohvil and E. Matijevic, "Prepartion and Properties of Coated, Uniform, Inorganic Colloidal Particle : I, Aluminium(Hydrous) Oxide on Hematite, Chromia, and Titania," *Advanced Ceramic Materials*, 2 (4) 798~803 (1987).
- J.E. Blendell and H.K. Bowen, "High Purity Alumina by Controlled Precipitation from

- Aluminum Sulfate Solutions," *Am. Ceram. Soc. Bull.*, **63** (6) 797–801 (1984).
7. B.C. Cornilsen and J.S. Reed, "Homogenous Precipitation of Basic Aluminum Salt as Precursors for Alumina," *Am. Ceram. Soc. Bull.*, **58** (12) 1199 (1979).
8. M.D. Sacks, T.Y. Tseng, and S.Y. Lee, "Thermal Decomposition of Spherical Hydrated Basic Aluminum Sulfate," *Am. Ceram. Soc. Bull.*, **63** (2) 301–310 (1984).
9. R. Brace and E. Matijevic, "Aluminum Hydrous Oxide Sol-I," *J. Inorg. Nucl. Chem.*, **35**, 691–3705 (1983).
10. A. Bell and E. Matijevic, "Complex Chemistry of Hydrous Chromium (III) Oxide Sol Formation," *J. Inorg. Nucl. Chem.*, **37**, 907–912 (1975).